

МИНОБРНАУКИ РОССИИ

Федеральное государственное бюджетное образовательное учреждение
высшего образования

«Ярославский государственный университет им. П.Г. Демидова»

**Локальная динамика уравнения второго порядка
с запаздыванием в производной**

Маслеников Игорь Николаевич

1 курс, аспирант

Кащенко Илья Сергеевич

Доктор физико-математических наук,
заведующий кафедрой математического моделирования ЯрГУ

Реферат

Работа состоит из 16 страниц. В работе 3 главы, 14 изображений, 11 источников.

Характеристический квазиполином, асимптотическое приближение, нормальная форма, динамика

Рассмотрена модель оптико-электронного осциллятора. Она имеет вид дифференциально - интегрального уравнения с запаздыванием вида:

$$\varepsilon \frac{dx}{dt} + x + \delta \int_{t_0}^t x(s) ds = F(x(t - \tau)).$$

Поставлена задача изучения локальной динамики в окрестности состояния равновесия уравнения. Для этого построено характеристическое уравнение и определено положение его корней. В зависимости от значений параметров определено поведение решений в окрестности состояния равновесия и его устойчивость. Выделены критические значения параметров, когда состояние равновесия меняет свою устойчивость. Получено асимптотическое приближение корней характеристического многочлена. Построен аналог нормальной формы. В результате проведенных исследований получено дифференциальное уравнение, решение которого определяет главную часть решений исходного дифференциально-интегрального уравнения.

Содержание

Введение	3
1 Исследование устойчивости состояния равновесия	4
2 Построение нормальной формы уравнения	8
2.1 Построение нормальной формы при $\beta_1 = -(1 + \varepsilon^2\beta)$	8
2.2 Построение нормальной формы при $\beta_1 = 1 + \varepsilon^2\beta$	11
3 Результаты численного счета	14
Заключение	16
Список литературы	17

Введение

Рассмотрим модель оптико-электронного осциллятора с запаздыванием, которое представляет собой реализацию модифицированного уравнения Икеды [1] с задержкой по времени:

$$\varepsilon \frac{dx}{dt} + x + \delta \int_{t_0}^t x(s) ds = F(x(t - \tau)). \quad (1)$$

Замена $x = \dot{y}$ и нормирование времени приводит систему (1) к виду уравнения Минорского [2] (2):

$$\varepsilon \ddot{y} + \dot{y} + \delta y = F(\dot{y}(t - 1)). \quad (2)$$

Здесь τ — время запаздывания, вещественное и положительное, ε , δ малые параметры. Функция F достаточно гладкая, не ограничивая общности можно считать, что $F(0) = 0$. Таким образом, уравнение (2) имеет нулевое состояние равновесия, если это не так, то можно сделать соответствующую замену.

В работе [1] уравнение исследовалось численными методами, подбирались параметры, начальные условия, строились сложные квазипериодические режимы, так называемые химеры, при этом рассматривался случай, когда параметры $\varepsilon = 0.005$ и $\delta = 0.016$. В силу этого будем предполагать, что параметры ε и δ малы ($0 < \varepsilon \ll 1$, $0 < \delta \ll 1$) и пропорциональны: $k\varepsilon = \delta$, $k > 0$.

Поставим задачу исследовать локальную динамику в окрестности состояния равновесия. В качестве фазового пространства уравнения (2) выберем пространство $C_{[-1,0]}^1$, для задания начальных условий фиксируем функцию $y(s)$ и $y'(s)$ на отрезке длины запаздывания $s \in [-1, 0]$. В работах [3], [4], [5] исследованы характеристические корни уравнения (2) и построены аналоги нормальных форм уравнения (2) при некоторых критических значениях параметров.

Отметим, что в статьях [6], [7], [8] рассмотрено похожее уравнение оптико - электронного осциллятора, в котором параметр δ не является малым. В работе [6] построены конечномерные и специальные бесконечномерные уравнения, которые играют роль нормальных форм. Приведены асимптотические на промежутке $[t_0, \infty]$ формулы для решений.

1 Исследование устойчивости состояния равновесия

В работе [3] проведено исследование расположения корней характеристического квазиполинома линеаризованного на нулевом состоянии равновесия уравнения (2):

$$\varepsilon\lambda^2 + \lambda + k\varepsilon = \lambda\beta_1 e^{-\lambda}. \quad (3)$$

Справедливы следующие теоремы.

Теорема 1. При $|\beta_1| < 1$ и достаточно малом ε , все корни (3) имеют отрицательные вещественные части, нулевое состояние равновесия устойчиво. При $|\beta_1| > 1$ и достаточно малом ε , существуют корни (3), имеющие положительные вещественные части, нулевое состояние равновесия неустойчиво.

Доказательство:

Сделаем замену в уравнении (3) $\lambda = \frac{\mu}{\varepsilon}$, тогда характеристическое уравнение (3) имеет вид:

$$\frac{\mu^2}{\varepsilon} + \frac{\mu}{\varepsilon} + k\varepsilon = \frac{\mu}{\varepsilon}\beta_1 e^{-\frac{\mu}{\varepsilon}}. \quad (4)$$

Предположим обратное, что есть корень μ с неотрицательной вещественной частью, т.е. $\operatorname{Re}\mu \geq 0$. Разделим уравнение (4) на $\frac{\mu}{\varepsilon}$, это можно сделать, т.к. $\mu = 0$ не является корнем. Получим:

$$\mu + 1 + \frac{k\varepsilon^2}{\mu} = \beta_1 e^{-\frac{\mu}{\varepsilon}}. \quad (5)$$

Представим $\mu = \alpha + i\gamma$ и оценим модуль правой части:

$$|\beta_1 e^{-\frac{\alpha+i\gamma}{\varepsilon}}| = |\beta_1| |e^{-\frac{\alpha+i\gamma}{\varepsilon}}| \leq |\beta_1| e^{-\frac{\alpha}{\varepsilon}} \leq |\beta_1|.$$

Оценим левую часть:

$$\begin{aligned} |\mu + 1 + \frac{k\varepsilon^2}{\mu}| &= |\alpha + i\gamma + 1 + \frac{k\varepsilon^2}{\alpha + i\gamma}| = |\alpha + i\gamma + 1 + \frac{k\varepsilon^2(\alpha - i\gamma)}{(\alpha^2 + \gamma^2)}| = \\ &= \sqrt{\left(\alpha + 1 + \frac{k\varepsilon^2\alpha}{(\alpha^2 + \gamma^2)}\right)^2 + \left(\gamma - \frac{k\varepsilon^2\gamma}{(\alpha^2 + \gamma^2)}\right)^2}. \end{aligned}$$

Рассмотрим второе слагаемое, оно всегда неотрицательно $\left(\gamma - \frac{k\varepsilon^2\gamma}{(\alpha^2 + \gamma^2)}\right)^2 \geq 0$, а так как мы рассматриваем случай $\alpha \geq 0$, то первое слагаемое всегда будет не меньше единицы:

$$\left(\alpha + 1 + \frac{k\varepsilon^2\alpha}{(\alpha^2 + \gamma^2)}\right)^2 \geq 1.$$

Отсюда следует, что при $|\beta_1| < 1$ ни на мнимой оси, ни в правой комплексной

полуплоскости у характеристического уравнения (5) нет корней.

Рассмотрим случай $\beta_1 > 1$, пусть $\lambda = \ln(\beta_1) + \mu$ подставим это значение в уравнение (3), получим функцию $F(\varepsilon, \mu)$:

$$F(\varepsilon, \mu) = \varepsilon(\ln^2 \beta_1 + 2\ln \beta_1 \mu + \mu^2) + \mu + \ln \beta_1 + k\varepsilon - (\mu + \ln \beta_1)e^{-\mu}. \quad (6)$$

При $\varepsilon = 0$ существует корень уравнение (6) $\mu = 0$, а функция $F'_\mu(0, 0) \neq 0$, следовательно по теореме о неявной функции $\mu = o(1)$. Что и требовалось доказать. Случай $\beta_1 < -1$ доказывается аналогично.

Теорема доказана.

Таким образом, в дополнительном исследовании нуждается случай $\beta_1 = \pm 1$. При таких значениях параметра β_1 у характеристического уравнения существует бесконечное количество корней, стремящихся к мнимой оси.

Теорема 2. При $\beta_1 = 1 + \varepsilon^2 \beta$ корни характеристического уравнения (3), находящиеся около мнимой оси, допускают асимптотическое представление вида:

$$\lambda_n = \lambda_{n0} + \varepsilon \lambda_{n1} + \varepsilon^2 \lambda_{n2} + o(\varepsilon^2), \text{ при } n \neq 0, \text{ где}$$

$$\lambda_{n0} = 2\pi n i, \quad \lambda_{n1} = -\frac{\lambda_{n0}^2 + k}{\lambda_{n0}},$$

$$\lambda_{n2} = -\frac{2\lambda_{n0}\lambda_{n1} + \lambda_{n1}^2}{\lambda_{n0}} + \frac{\lambda_{n1}^2}{2} + \beta,$$

$$\lambda = \sqrt{\varepsilon k} i - \varepsilon \frac{k}{4} + o(\varepsilon), \quad \bar{\lambda} = -\sqrt{\varepsilon k} i - \varepsilon \frac{k}{4} + o(\varepsilon).$$

Доказательство:

Пусть для определенности параметр $\beta_1 = 1 + \varepsilon^2 \beta$ при $\beta > 0$. Выделим первый член разложения асимптотического ряда:

$$\lambda = \lambda_0 + o(1).$$

Подставим в уравнение (3) и всё, что будет иметь порядок малости больше чем $o(1)$ сгруппируем:

$$\lambda_0 e^{-\lambda_0} = \lambda_0 + o(1).$$

Выделяя главную часть, получаем:

$$\lambda_0(e^{-\lambda_0} - 1) = 0.$$

У этого уравнения корнями являются:

$$\lambda_0 = 0 \quad \lambda_{n0} = 2\pi n i, \quad n \in \mathbb{Z}.$$

Отметим, что нулевой корень имеет кратность 2. Уточним асимптотику при

$\lambda_{n0} \neq 0$, чтобы определить вещественную часть каждого корня. Представим разложение корней уравнения (3) в виде:

$$\lambda_n = \lambda_{n0} + \varepsilon \lambda_{n1} + \varepsilon^2 \lambda_{n2} + (\varepsilon^2), \quad \lambda_{n0} = 2\pi n i.$$

Подставим разложение корней в уравнение (3), получим:

$$\begin{aligned} & \varepsilon (\lambda_{n0} + \varepsilon \lambda_{n1})^2 + \lambda_{n0} + \varepsilon \lambda_{n1} + \varepsilon^2 \lambda_{n2} + k\varepsilon + (\varepsilon^2) = \\ & = (1 + \varepsilon^2 \beta) (\lambda_{n0} + \varepsilon \lambda_{n1} + \varepsilon^2 \lambda_{n2}) e^{-(\lambda_{n0} + \varepsilon \lambda_{n1} + \varepsilon^2 \lambda_{n2} + (\varepsilon^2))}. \end{aligned}$$

Так как $\varepsilon \lambda_{n1} + \varepsilon^2 \lambda_{n2}$ мало, то разложим экспоненту в ряд Тейлора:

$$\begin{aligned} & \varepsilon (\lambda_{n0}^2 + \varepsilon \lambda_{n0} \lambda_{n1}) + \lambda_{n0} + \varepsilon \lambda_{n1} + \varepsilon^2 \lambda_{n2} + k\varepsilon + (\varepsilon^2) = \\ & = (1 + \varepsilon^2 \beta) (\lambda_{n0} + \varepsilon \lambda_{n1} + \varepsilon^2 \lambda_{n2}) \left(1 - \varepsilon \lambda_{n1} - \varepsilon^2 \lambda_{n2} + \frac{\varepsilon^2}{2} \lambda_{n1}^2 + (\varepsilon^2) \right). \end{aligned} \quad (7)$$

Раскроем скобки и приравняем коэффициенты при одинаковых степенях малого параметра.

При ε^0 имеем верное тождество:

$$\lambda_{n0} = \lambda_{n0}, \quad \lambda_{n0} = 2\pi n i.$$

При ε^1 получим:

$$\begin{aligned} & \lambda_{n0}^2 + \lambda_{n1} + k = \lambda_{n1} - \lambda_{n0} \lambda_{n1}, \quad \text{при } n \neq 0, \\ & \lambda_{n1} = \frac{(-4\pi^2 n^2 + k) i}{2\pi n}, \quad \text{при } n \neq 0. \end{aligned} \quad (8)$$

При ε^2 получим:

$$\begin{aligned} & 2\lambda_{n0} \lambda_{n1} + \lambda_{n2} = \lambda_{n2} - \lambda_{n1}^2 - \lambda_{n0} \left(\lambda_{n2} - \frac{\lambda_{n1}^2}{2} \right) \\ & \lambda_{n2} = -\frac{2\lambda_{n0} \lambda_{n1} + \lambda_{n1}^2}{\lambda_{n0}} + \frac{\lambda_{n1}^2}{2} + \beta, \\ & \lambda_{n2} = \left(4\pi n - \frac{k}{\pi n} - \frac{4\pi^2 n^2 - 2k + \frac{k^2}{4\pi^2 n^2}}{2\pi n} \right) i - \\ & - \frac{1}{2} \left(4\pi^2 n^2 - 2k + \frac{k^2}{4\pi^2 n^2} \right) + \beta, \quad \text{при } n \neq 0. \end{aligned} \quad (9)$$

Проведем аналогичные действия при $\beta = 1 + \varepsilon^2 \beta_1$ и $n = 0$. Представим разложение корней уравнения (3) в виде:

$$\lambda = \sqrt{\varepsilon} \lambda_1 + \varepsilon \lambda_2 + \varepsilon^{\frac{3}{2}} \lambda_3 + o(\varepsilon^{\frac{3}{2}}).$$

По аналогии выполняем те же действия, в результате получаем:

$$\lambda_1 = \pm\sqrt{k}i, \quad \lambda_2 = \frac{-k}{4}.$$

Теорема доказана.

Траектория движения корней характеристического уравнения (3) при $\beta_1 = 1 + \varepsilon^2\beta$, $\varepsilon \rightarrow 0$ и фиксированном значении параметров $k = 2$, $\beta = 1$ показана на Рис. 1 :

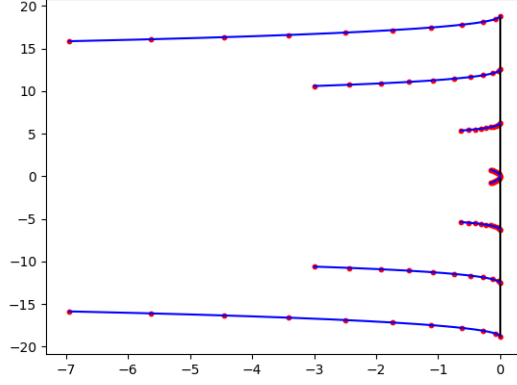


Рис. 1: Траектория движения корней при $\beta_1 = 1 + \varepsilon^2$, $\varepsilon \rightarrow 0$.

Аналогичные построения можно провести и при $\beta_1 = -(1 + \varepsilon^2\beta)$.

Теорема 3. При $\beta_1 = -(1 + \varepsilon^2\beta)$ корни характеристического уравнения (3) λ и λ_n , находящиеся около мнимой оси, допускают асимптотическое представление вида:

$$\lambda_n = \lambda_{n0} + \varepsilon\lambda_{n1} + \varepsilon^2\lambda_{n2} + o(\varepsilon^2), \text{ при } n \neq 0, \text{ где}$$

$$\lambda_{n0} = \pi(2n+1)i, \quad \lambda_{n1} = -\frac{\lambda_{n0}^2 + k}{\lambda_{n0}},$$

$$\lambda_{n2} = -\frac{2\lambda_{n0}\lambda_{n1} + \lambda_{n1}^2}{\lambda_{n0}} + \frac{\lambda_{n1}^2}{2} + \beta,$$

$$\lambda = \frac{-\varepsilon k}{2} + o(\varepsilon).$$

Траектория движения корней характеристического уравнения (3) при $\beta_1 = -(1 + \varepsilon^2\beta)$, $\varepsilon \rightarrow 0$ и фиксированном значении параметров $k = 2$, $\beta = 1$ показана на Рис. 2 :

Таким образом, при $|\beta_1|$ близком к 1 характеристическое уравнение имеет счетное число корней, вещественная часть которых стремится к нулю при $\varepsilon \rightarrow 0$.

Далее изучим поведение решений уравнения (2) в окрестности нуля при $|\beta_1|$ близком к 1 и малых ε .

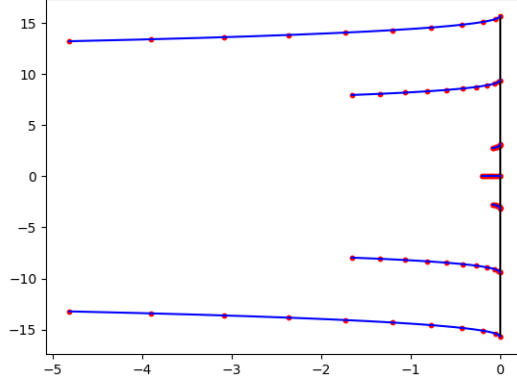


Рис. 2: Траектория движения корней при $\beta_1 = -(1 + \varepsilon^2)$, $\varepsilon \rightarrow 0$.

2 Построение нормальной формы уравнения

Изучим изменения в поведении решений уравнения (2) при переходе β_1 через ± 1 . Разложим в уравнении (2) функцию F в ряд Тейлора в окрестности нуля:

$$\varepsilon \ddot{y} + \dot{y} + k\varepsilon y = \beta_1 \dot{y}(t-1) + \beta_2 (\dot{y}(t-1))^2 + \beta_3 (\dot{y}(t-1))^3 + \dots, \quad (10)$$

где β_2, β_3 некоторые постоянные, а β_1 близка к ± 1 : $\beta_1 = \pm(1 + \varepsilon^2\beta)$.

2.1 Построение нормальной формы при $\beta_1 = -(1 + \varepsilon^2\beta)$

Рассмотрим задачу построения нормальной формы для уравнения (10) при параметре $\beta_1 = -(1 + \varepsilon^2\beta)$. При таком β_1 характеристическое уравнение имеет бесконечное количество корней, стремящихся к мнимой оси, таким образом, реализуется критический случай бесконечной размерности. Представим функцию y в виде асимптотического ряда:

$$y = \varepsilon V(\tau, t) + \varepsilon W(\tau) + \varepsilon^2 U_1(\tau, t) + \varepsilon^3 U_2(\tau, t) + \dots, \quad (11)$$

где U_1, U_2 периодические с периодом 1: $U_1(\tau, t) \equiv U_1(\tau, t+1)$, $U_2(\tau, t) \equiv U_2(\tau, t+1)$. Функция W такая, что среднее значение $\beta_2 \dot{V}^2 - kW$ равняется 0, то есть:

$$W(\tau) = \frac{\beta_2}{k} \int_0^1 \left(\frac{\partial V}{\partial t} \right)^2 (\tau, t) dt.$$

Функция $V(\tau, t)$ представляется в виде ряда Фурье:

$$V(\tau, t) = \sum_{-\infty}^{\infty} e^{i \text{Im}(\lambda_{n0} + \varepsilon \lambda_{n1} + \varepsilon^2 \lambda_{n2} + \dots)t} V_n(\tau), \text{ где } \tau = \varepsilon^2 t.$$

Значения $\lambda_{n0}, \lambda_{n1}, \lambda_{n2}$ определяются из асимптотического приближения корней уравнения (3) (см. Теорему 3).

Подставим (11) в уравнение (10), будем приравнять коэффициенты при одинаковых степенях малого параметра ε .

При ε получаем верное тождество:

$$\lambda_{n0}V_n(\tau)e^{\xi_n t} = \lambda_{n0}V_n(\tau)e^{\xi_n t}.$$

При ε^2 получаем:

$$\begin{aligned} & \sum_{-\infty}^{\infty} \lambda_{n0}^2 V_n(\tau) e^{\xi_n t} + \sum_{-\infty}^{\infty} \lambda_{n1} V_n(\tau) e^{\xi_n t} + \dot{U}_1 + \sum_{-\infty}^{\infty} k V_n(\tau) e^{\xi_n t} + \\ & + kW(\tau) = \sum_{-\infty}^{\infty} (-1)(-\lambda_{n1} V_n(\tau) + \lambda_{n1} \lambda_{n0} V_n(\tau)) e^{\xi_n t} - \dot{U}_1(t-1) + \beta_2 \dot{V}^2. \end{aligned} \quad (12)$$

После сокращений из уравнения (12) определяется \dot{U}_1 :

$$\dot{U}_1 = \frac{1}{2}(\beta_2 \dot{V}^2 - kW(\tau)).$$

U_1 находится в виде:

$$U_1 = \frac{1}{2} \int_0^r \beta_2 \dot{V}^2(s, \tau) - W(\tau) ds.$$

Обратим внимание, что U_1 периодическая, т.к. среднее значение подинтегральной функции равно нулю.

При ε^3 получаем:

$$\begin{aligned} & \sum_{-\infty}^{\infty} e^{\xi_n t} 2\lambda_{n0}\lambda_{n1}V_n(\tau) + \ddot{U}_1 + \sum_{-\infty}^{\infty} (\lambda_{n2}V_n(\tau) + V_n'(\tau))e^{\xi_n t} + \dot{U}_2 + \\ & + kU_1 + W'(\tau) = \sum_{-\infty}^{\infty} (-1)e^{\xi_n t} ((-1)(\lambda_{n2}V_n(\tau) - \lambda_{n0}V_n'(\tau) + V_n'(\tau)) + \\ & + \lambda_{n1}^2 V_n(\tau) + (-\lambda_{n2} + \frac{1}{2}\lambda_{n1}^2)\lambda_{n0}V_n(\tau)) - (\dot{U}_2(t-1) + W'(\tau)) + \\ & + \sum_{-\infty}^{\infty} \lambda_{n0}\beta V_n(\tau)e^{\xi_n t} + \dot{U}_1(t-1) + \beta_2 \sum_{-\infty}^{\infty} \varphi_{2n}(V)e^{(\pi(2n+1)i+o(\varepsilon))t} + \\ & + \beta_2 \sum_{-\infty}^{\infty} f_{2n}(V)e^{(\pi 2ni+o(\varepsilon))t} + \beta_3 \sum_{-\infty}^{\infty} \varphi_{3n}(V)e^{(\pi(2n+1)i+o(\varepsilon))t}, \end{aligned} \quad (13)$$

где $\varphi_{2n}(V)$ коэффициенты ряда Фурье для функции:

$$-2\dot{U}_1(t-1) \sum_{-\infty}^{\infty} \pi(2n+1)iV_n(\tau)e^{\xi_n t};$$

$\varphi_{3n}(V)$ коэффициенты ряда Фурье для функции:

$$- \left(\sum_{-\infty}^{\infty} \pi(2n+1)iV_n(\tau) \right)^3;$$

$f_{2n}(V)$ коэффициенты ряда Фурье для функции:

$$-2 \sum_{-\infty}^{\infty} \lambda_{n0} V_n(\tau) e^{\xi_{n0} t} \cdot \sum_{-\infty}^{\infty} \lambda_{m0} \lambda_{m1} V_m(\tau) e^{\xi_{m1} t}.$$

Уравнение (13) упрощается до вида:

$$\begin{aligned} \ddot{U}_1 + 2\dot{U}_2 + kU_1 + 2W'(\tau) - \beta_2 \sum_{-\infty}^{\infty} f_{2n}(V) e^{(\pi 2ni + o(\varepsilon))t} = \\ \sum_{-\infty}^{\infty} (-\lambda_{n0} V_n'(\tau) + \frac{1}{2} \lambda_{n1}^2 \lambda_{n0} V_n(\tau) + \lambda_{n0} \beta V_n(\tau) + \\ + \beta_2 \varphi_{2n}(V) + \beta_3 \varphi_{3n}(V)) e^{(\pi(2n+1)i + o(\varepsilon))t}. \end{aligned} \quad (14)$$

В уравнении (14) левая часть периодическая, а правая антипериодическая, равенство возможно тогда и только тогда, когда левая и правая часть равны 0.

\dot{U}_2 определяется в виде:

$$\dot{U}_2 = \frac{1}{2} (\beta_2 \sum_{-\infty}^{\infty} f_{2n}(V) e^{(\pi 2ni + o(\varepsilon))t} - \ddot{U}_1 - kU_1 - 2W'(\tau)).$$

Рассмотрим антипериодическую часть уравнения (14) и разложим её на соответствующие степени $e^{\xi_{n0} t}$:

$$\lambda_{n0} V_n'(\tau) = \frac{1}{2} \lambda_{n1}^2 \lambda_{n0} V_n(\tau) + \lambda_{n0} \beta V_n(\tau) + \beta_2 \varphi_{2n}(V) + \beta_3 \varphi_{3n}(V). \quad (15)$$

Подставим значения λ_{n1} и λ_{n0} в уравнение (15):

$$\begin{aligned} V_n'(\tau) = -\frac{1}{2} \left(\pi^2 (2n+1)^2 - 2k + \frac{k^2}{\pi^2 (2n+1)^2} \right) V_n(\tau) + \\ + \beta V_n(\tau) + \frac{\beta_2}{\pi(2n+1)i} \varphi_{2n}(V) + \frac{\beta_3}{\pi(2n+1)i} \varphi_{3n}(V). \end{aligned} \quad (16)$$

В работах [4], [5] было показано, что уравнение (10) в рассматриваемом случае сводится к дифференциальному уравнению в частных производных (17) с краевыми условиями:

$$\frac{\partial V}{\partial \tau} = \frac{1}{2} \frac{\partial^2 V}{\partial t^2} + kV - \frac{k^2}{2} J^2(V) + \beta V + \beta_2 J \left(U_1 \frac{\partial V}{\partial t} \right) + \beta_3 J \left(\left(\frac{\partial V}{\partial t} \right)^3 \right), \quad (17)$$

$$\int_0^1 V(\tau, t) dt = 0, \quad V(\tau, t) \equiv -V(\tau, t+1). \quad (18)$$

Через $J(V)$ обозначена первообразная функции V с нулевым средним:

$$J^2(V) = J(J(V)), \quad (J(V))'_t \equiv V.$$

Справедлива следующая теорема [4], [5]:

Теорема 4. Пусть V_* ограниченное решение (17) с краевыми условиями (18), причем $V_* = \sum_{-\infty}^{\infty} e^{\pi(2n+1)it} V_n(\tau)$, тогда

$$y(t) = \varepsilon \sum_{-\infty}^{\infty} e^{iIm(\lambda_{n0} + \varepsilon\lambda_{n1} + \varepsilon^2\lambda_{n2} + \dots)t} V_n(\tau) + \varepsilon \frac{\beta_2}{k} \int_0^1 \dot{V}^2(t, \tau) dt,$$

где $\tau = \varepsilon^2 t$ - медленное время, значения λ_{n0} , λ_{n1} , λ_{n2} определяются в Теореме 3, является асимптотическим по невязке с точностью $O(\varepsilon^3)$ равномерно по $t \geq 0$ решением (10).

Таким образом, задача (17), (18) является аналогом нормальной формы для уравнения (10), при критическом значении параметра $\beta_1 = -(1 + \varepsilon^2\beta)$. Отметим, что коэффициенты краевой задачи не зависят от параметра ε .

2.2 Построение нормальной формы при $\beta_1 = 1 + \varepsilon^2\beta$

Рассмотрим уравнение (2) при параметре $\beta_1 = 1 + \varepsilon^2\beta$, тогда уравнение (2) имеет вид (19):

$$\varepsilon y'' + y' + k\varepsilon y = \beta_1 y'(t-1) + \beta_2 y'^2(t-1) + \beta_3 y'^3(t-1) \dots \quad (19)$$

Представим функцию y в виде ряда:

$$y = \varepsilon^{\frac{1}{4}} (W(\tau)e^{is} + C.C.) + \varepsilon^2 V(\eta, t) + U(\eta, \tau, s, t) + \dots, \quad (20)$$

где $\tau = \varepsilon t$, $\eta = \varepsilon^2 t$, $s = \sqrt{\varepsilon k} t$ медленные времена, $U(\tau, \eta, s, t) = U(\tau, \eta, s, t-1)$ периодическая функция по t . Функция $V(\eta, t)$ имеет вид:

$$V = \sum_{n \neq 0} V_n(\tau) e^{iIm(\lambda_{n0} + \varepsilon\lambda_{n1} + \varepsilon^2\lambda_{n2} + \dots)t} = \sum_{n \neq 0} V_n(\tau) e^{\xi_n t}.$$

Значения λ_{n0} , λ_{n1} , λ_{n2} определяются из асимптотического приближения корней уравнения (3) (см. Теорему 2).

Функция $U(\eta, \tau, s, t)$ представима в виде суммы рядов:

$$U(\eta, \tau, s, t) = \varepsilon^{\frac{1}{2}} \sum_{n=0}^{\infty} \varepsilon^{\frac{n}{4}} H_n(\tau, s) + \varepsilon^{\frac{9}{4}} \left(\sum_{n=0}^{\infty} \varepsilon^{\frac{n}{4}} D_n(\eta, \tau, s, t) \right) + \varepsilon^3 \left(\sum_{n=0}^{\infty} \varepsilon^{\frac{n}{4}} R_n(\eta) \right).$$

Подставим (20) в уравнение (19), раскроем скобки, приравняем коэффициенты при одинаковых степенях малого параметра ε . Функции из $U(\tau, \eta, s, t)$ будут последовательно определяться из $W(\tau)e^{is} + C.C.$ и $V(\eta, t)$.

При $\varepsilon^{\frac{3}{2}}$ определяется функция H_0 :

$$0 = kH_0(\tau, s) + kH_0^{ss}(\tau, s) + \beta_2 k(e^{2is}W^2(\tau) + e^{-2is}\overline{W}^2(\tau) - 2W(\tau)\overline{W}(\tau)),$$

$$H_0(\tau, s) = \frac{\beta_2}{3}(2ie^{2is}W^2(\tau) + e^{-2is}\overline{W}^2(\tau)) + 2\beta_2W(\tau)\overline{W}(\tau).$$

Функция W определяется при $\varepsilon^{\frac{7}{4}}$:

$$\begin{aligned} 0 = & kH_1(\tau, s) + kH_1^{ss}(\tau, s) + \\ & \frac{1}{2}ie^{is}k^{\frac{3}{2}}W(\tau) - \varepsilon\beta ie^{is}\sqrt{k}W(\tau) + 2ie^{is}\sqrt{k}W^\tau(\tau) - \\ & - (\frac{1}{2}ie^{-is}k^{\frac{3}{2}}\overline{W}(\tau) - \varepsilon\beta ie^{-is}\sqrt{k}\overline{W}(\tau) + 2ie^{-is}\sqrt{k}\overline{W}^\tau(\tau)) + \\ & 2\frac{\beta_2^2}{3}(2i\sqrt{k}e^{2is}W^2(\tau) - 2i\sqrt{k}e^{-2is}\overline{W}^2(\tau))(-i\sqrt{k}e^{is}W(\tau) + i\sqrt{k}e^{-is}\overline{W}(\tau)). \end{aligned}$$

Приравняем коэффициенты при одинаковых e^{is} и e^{-is} :

$$\begin{aligned} 2ie^{is}\sqrt{k}W^\tau(\tau) = & -\frac{1}{2}ie^{is}k^{\frac{3}{2}}W(\tau) + \varepsilon\beta ie^{is}\sqrt{k}W(\tau) + \\ & + 4\frac{\beta_2^2}{3}ke^{is}W^2(\tau)\overline{W}(\tau) + 3i\beta_3\varepsilon^{\frac{1}{2}}k^{\frac{3}{2}}e^{is}W^2(\tau)\overline{W}(\tau), \\ 2ie^{-is}\sqrt{k}\overline{W}^\tau(\tau) = & -\frac{1}{2}ie^{-is}k^{\frac{3}{2}}\overline{W}(\tau) + \varepsilon\beta ie^{-is}\sqrt{k}\overline{W}(\tau) - \\ & - 4\frac{\beta_2^2}{3}ke^{-is}W(\tau)\overline{W}^2(\tau) - 3i\beta_3\varepsilon^{\frac{1}{2}}k^{\frac{3}{2}}e^{-is}W(\tau)\overline{W}^2(\tau), \\ W^\tau(\tau) = & (\frac{\varepsilon\beta}{2} - \frac{k}{4})W(\tau) - \frac{2}{3}\beta_2^2\sqrt{k}iW^2(\tau)\overline{W}(\tau) + \frac{3}{2}\beta_3\varepsilon^{\frac{1}{2}}kW^2(\tau)\overline{W}(\tau), \\ \overline{W}^\tau(\tau) = & (\frac{\varepsilon\beta}{2} - \frac{k}{4})\overline{W}(\tau) + \frac{2}{3}\beta_2^2\sqrt{k}iW(\tau)\overline{W}^2(\tau) - \frac{3}{2}\beta_3\varepsilon^{\frac{1}{2}}kW(\tau)\overline{W}^2(\tau). \end{aligned} \tag{21}$$

Отметим, что при $\varepsilon\beta < \frac{k}{2}$ решение уравнения (21) стремится к нулю.

Функция V_n определяется из выражения:

$$\begin{aligned} \sum_{n \neq 0} V_n^\eta(\eta)e^{\xi_n t}\lambda_{n0} = & \sum_{n \neq 0} V_n(\eta)e^{\xi_n t}\frac{1}{2}\lambda_{n1}^2\lambda_{n0} + \beta \sum_{n \neq 0} V_n(\eta)e^{\xi_n t}\lambda_{n0} + \\ & + \beta_3(\sum_{n \neq 0} V_n(\eta)e^{\xi_n t}\lambda_{n0})^3. \end{aligned}$$

Уравнение (19) в рассматриваемом случае сводится к рассмотрению дифференциального уравнения в частных производных (22) с краевыми условиями (23):

$$\frac{\partial V}{\partial \eta} = \frac{1}{2}\frac{\partial^2 V}{\partial^2 t} + kV - \frac{k^2}{2}J^2(V) + \beta V + \beta_3 J\left(\left(\frac{\partial V}{\partial t}\right)^3\right), \tag{22}$$

$$\int_0^1 V(\eta, t)dt = 0, \quad V(\eta, t) \equiv V(\eta, t+1). \tag{23}$$

Через $J(V)$ обозначена первообразная функции V с нулевым средним:

$$J^2(V) = J(J(V)), \quad (J(V))'_t \equiv V.$$

Теорема 5. Пусть $\varepsilon\beta < \frac{k}{2}$, тогда $V_*(\eta, t)$ - ограниченное вместе со своими производными, решение (22) с краевыми условиями (23), причем $V_*(\eta, t) = \sum_{-\infty}^{\infty} e^{2\pi nit} V_n(\eta)$, тогда

$$y(t) = \varepsilon^2 \sum_{-\infty}^{\infty} e^{iIm(\lambda_{n0} + \varepsilon\lambda_{n1} + \varepsilon^2\lambda_{n2} + \dots)t} V_n(\eta),$$

где $\eta = \varepsilon^2 t$, $\tau = \varepsilon t$, $s = \sqrt{\varepsilon k} t$, является асимптотическим по невязке с точностью $O(\varepsilon^3)$ равномерно по $t \geq 0$ решением (19).

Отметим, что если $\varepsilon\beta$ немало, то на решение исходного уравнения влияет решение уравнения (21), меняется амплитуда и период колебаний.

3 Результаты численного счета

При помощи численного счета покажем, как при изменении параметров изменяется динамика решений уравнения (10).

Рассмотрим в качестве примера $F(\dot{y}(t-1)) = \beta_1 \sin(\dot{y}(t-1))$, и построим графики решений уравнения (10). Разложим функцию F в ряд Тейлора:

$$F(\dot{y}(t-1)) = \pm(1 + \varepsilon^2 \beta) \dot{y}(t-1) \pm \frac{1}{6}(1 + \varepsilon^2 \beta) \dot{y}^3(t-1).$$

Таким образом, задача (10) имеет вид:

$$\varepsilon \ddot{y} + \dot{y} + k \varepsilon y = \pm(1 + \varepsilon^2 \beta) \dot{y}(t-1) \pm \frac{1}{6}(1 + \varepsilon^2 \beta) (\dot{y}(t-1))^3 + \dots \quad (24)$$

При параметре $|\beta_1| < 1$ траектория решения уравнения (24) стремится к нулю. Нулевое состояние равновесия устойчиво.

При параметре $\beta_1 < -1$ траектория решения уравнения (24) стремится к колебательному режиму. Нулевое состояние равновесия становится неустойчиво. На Рис. 3 приведены графики установившихся режимов при β_1 близком к -1 : $\beta_1 = -(1 + \varepsilon^2 \beta)$.

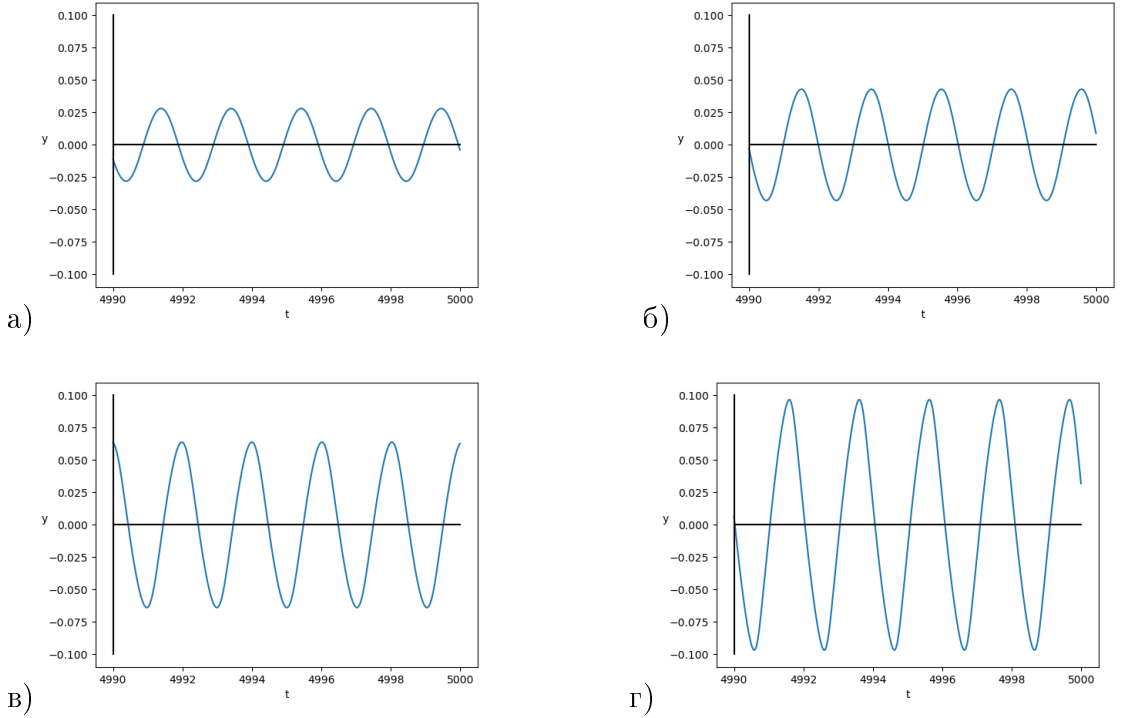


Рис. 3: График решения уравнения (24) при $\beta_1 = -(1 + \varepsilon^2 \beta)$, $\varepsilon = 0.01$, $k = 2$, а) $\beta = 12.5$, б) $\beta = 25$, в) $\beta = 50$, г) $\beta = 100$.

Аналогично, на Рис. 4 приведены графики установившихся режимов при β_1 близком к 1 : $\beta_1 = 1 + \varepsilon^2 \beta$.

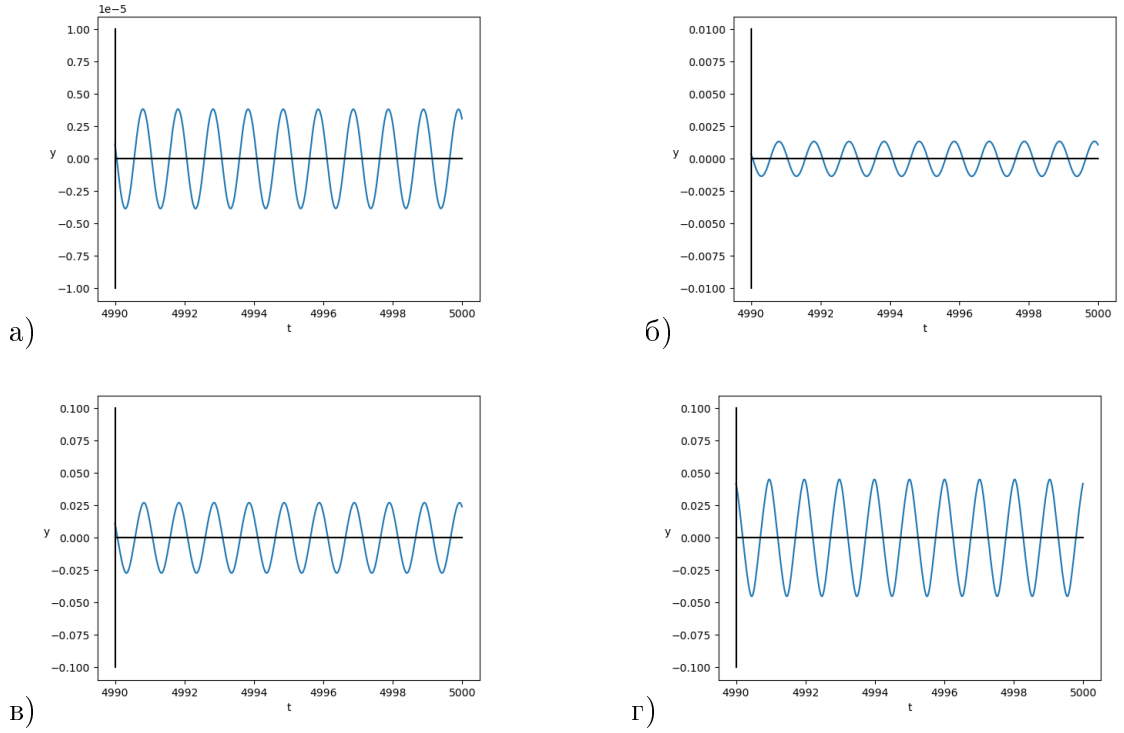


Рис. 4: График решения уравнения (24) при $\beta_1 = 1 + \varepsilon^2\beta$, $\varepsilon = 0.01$, $k = 2$, а) $\beta = 12.5$, б) $\beta = 25$, в) $\beta = 50$, г) $\beta = 100$.

Отметим, что при значительном увеличении параметра β изменяется колебательный режим, а именно длина периода и амплитуда становятся больше. Численные исследования показаны на Рис. 5:

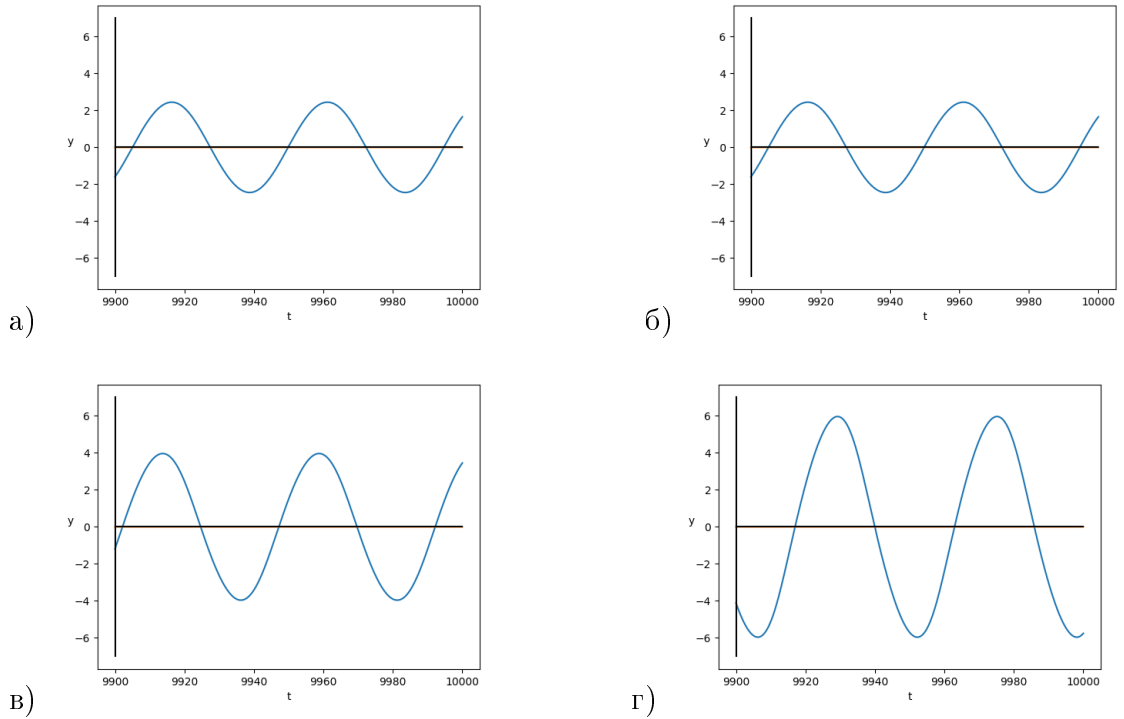


Рис. 5: График решения уравнения (24) при $\beta_1 = 1 + \varepsilon^2\beta$, $\varepsilon = 0.01$, $k = 2$, а) $\beta = 200$, б) $\beta = 250$, в) $\beta = 500$, г) $\beta = 1000$.

Заключение

Было рассмотрено уравнение второго порядка с запаздыванием в производной, найдено его состояние равновесия. Для изучения локальной динамики уравнения был рассмотрен характеристический квазиполином. Выделены критические значения параметра β_1 , при котором состояние равновесия меняет свою устойчивость. Найдено асимптотическое представление корней характеристического квазиполинома при критическом значении параметра β_1 . Интересным оказывается то, что кроме основной бесконечной «цепочки» стремящихся к мнимой оси корней, существует еще один близкий к нулю корень характеристического уравнения или пара таких корней. Построено асимптотическое представление корней при малом изменении параметра β_1 . Построен аналог нормальной формы решения уравнения (10) при критических параметрах β_1 . Представлены соответствующие численные решения исходной системы в случаях, когда значения параметров близки к критическим.

Список литературы

1. *Larger L., Maistrenko Y., Penkovskiy B.* Virtual Chimera States for Delayed-Feedback Systems// Physical Review Letters, 2013. Vol. 111. pp. 054103.
2. *Минорский В.П.* Уравнение Минорского. // Обыкновенные дифференциально-разностные уравнения. М.: 1961. с. 191- 210 с.
3. *Маслеников И.Н.* Исследование локальной динамики дифференциально - интегрального уравнения с запаздыванием. // Современные проблемы математики и информатики. Выпуск 18, 2018, с. 39-45.
4. *Маслеников И.Н.* Локальная динамика опто-электронного осциллятора. // Современные проблемы математики и информатики. Выпуск 19, 2019, с. 44-52.
5. *Маслеников И.Н.* Исследование локальной динамики модели оптоэлектронного осциллятора.// Державинский форум. Тамбов, 2019, с. 157-166.
6. Григорьева Е.В., Кащенко С.А., Глазков Д.В.. Особенности локальной динамики модели оптико-электронного осциллятора с запаздыванием. // Моделирование и анализ информационных систем. Т.25, №1, 2018, с. 71-82.
7. Григорьева Е.В., Кащенко С.А..Нормализованные краевые задачи в модели оптико-электронного осциллятора с запаздыванием. // Прикладные задачи нелинейной теории колебаний и волн. Известия вузов. ПНД. 2020. Т. 28, вып. 4. С. 361-382.
8. Grigorieva E. V., Kashchenko S. A.. Rectangular structures in the model of an optoelectronic oscillator with delay. // Physica D: Nonlinear Phenomen. 2021.
URL: www.elsevier.com/locate/physd
9. *Кащенко И.С.* Асимптотическое разложение решений уравнений: методические указания. Ярославль: ЯрГУ, 2011.
10. *Кащенко И.С.* Метод квазинормальных форм в уравнениях с запаздыванием: методические указания. Ярославль: ЯрГУ, 2011.
11. *Хейл Дж.* Теория функционально-дифференциальных уравнений. М.: Мир, 1984.